

Depuis son invention, le four à micro-ondes a immédiatement envahi les cuisines des particuliers. On s'intéresse ici à un modèle simplifié de son fonctionnement et de la protection de sa paroi.

#### Document 4 - Découverte du principe du four à micro-ondes

L'ingénieur Percy Spencer eut une drôle de surprise alors qu'il travaillait à la mise au point d'un radar en 1945 : sa barre de chocolat se mit à fondre à proximité d'un « magnétron » sous tension ! Un brevet suivit dans la foulée et le premier four à micro-ondes vit le jour deux ans plus tard..

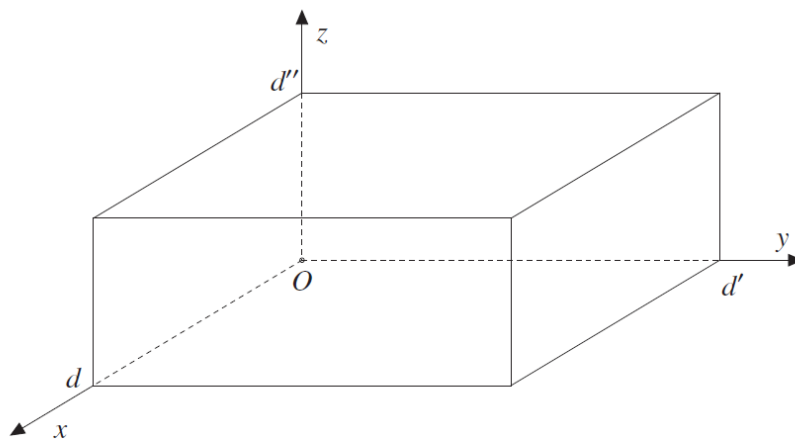
D'après « La physique par les objets quotidiens » de Cédric Ray et Jean-Claude Poizat  
Éditions Belin pour la science. Octobre 2007.

La fréquence des ondes utilisées dans un four à micro-ondes est généralement égale à 2,50 GHz.

**Q35.** Justifier, à l'aide d'un calcul, pourquoi les ondes utilisées dans le four à micro-ondes sont qualifiées d'ondes centimétriques.

**Q36.** Les fours à micro-ondes peuvent parfois perturber les liaisons Wi-Fi. Nommer le phénomène responsable de cette perturbation et déduire la fréquence des ondes Wi-Fi en justifiant la réponse.

Dans un modèle approché simplifié, on considérera le four à micro-ondes comme un parallélépipède rectangle d'arêtes parallèles aux axes  $Ox$ ,  $Oy$  et  $Oz$ ,  $Oz$  étant la verticale ascendante et de faces d'équations :  $x = 0$  et  $x = d$ ;  $y = 0$  et  $y = d'$ ;  $z = 0$  et  $z = d''$  (**figure 3**).



**Figure 3** – Représentation schématique du four à micro-ondes

On mène une étude simplifiée de l'onde présente dans le four à micro-ondes. On admet que l'onde résultante à l'intérieur du four s'écrit sous la forme

$$\vec{E}(x, y, z, t) = E_0(x) \cos(\omega t - kz) \vec{u}_y \quad (2)$$

où  $E_0(x)$  n'est pas une constante mais dépend effectivement de  $x$ ,  $\omega$  est la pulsation de l'onde et  $k$  la norme du vecteur d'onde associé.

On suppose que le four est vide, c'est-à-dire sans aliment et donc rempli d'air, de caractéristiques assimilables avec une excellente approximation à celles du vide.

**Q37.** Écrire les quatre équations de Maxwell dans le vide, sans charge ni courant.

**Q38.** Montrer que l'équation de propagation relative au champ  $\vec{E}$  est :

$$\Delta \vec{E} - \varepsilon_0 \mu_0 \frac{\partial^2 \vec{E}}{\partial t^2} = \vec{0}. \quad (3)$$

**Q39.** À partir de l'équation (3), déterminer l'équation différentielle que doit nécessairement vérifier  $E_0(x)$ .

**Q40.** À quelle condition sur  $\omega$ ,  $k$  et  $c$ , la solution de cette équation est-elle oscillante ?  
On admet pour la suite que cette condition est satisfaite.

On rappelle la relation de passage du champ électrique  $\vec{E}$  à l'interface entre deux milieux différents indicés 1 et 2

$$\vec{E}_2 - \vec{E}_1 = \frac{\sigma}{\varepsilon_0} \vec{n}_{1 \rightarrow 2} \quad (4)$$

avec  $\sigma$  la densité surfacique de charge au niveau de l'interface entre les deux milieux et  $\vec{n}_{1 \rightarrow 2}$  le vecteur unitaire directeur normal à la surface allant du milieu 1 au milieu 2.

On suppose que les parois du four à micro-ondes sont des parois épaisses constituées de conducteur parfait. On peut montrer que le champ électrique à l'intérieur d'un conducteur parfait est nul.

**Q41.** En déduire que le champ électrique total est nul au niveau des parois  $x = 0$  et  $x = d$ .

**Q42.** Écrire les conditions aux limites que cela impose pour  $E_0(x)$ .

**Q43.** Montrer que cela entraîne

$$E_0(x) = A \sin\left(n\pi \frac{x}{d}\right)$$

avec  $A$  une constante qu'on ne déterminera pas et  $n$  un entier.

En déduire la relation de dispersion entre  $n$ ,  $d$ ,  $k$  et  $\omega$ .

En réalité, le conducteur constituant la structure parallélépipédique du four à micro-ondes n'est pas un conducteur idéal. On peut montrer que cela induit alors que l'onde va légèrement pénétrer dans le conducteur sur une longueur caractéristique appelée profondeur de pénétration, notée  $\delta$ . On l'appelle aussi épaisseur de peau et elle a pour expression

$$\delta = \sqrt{\frac{2}{\omega \mu_0 \sigma}} \quad (5)$$

avec  $\sigma$  la conductivité du conducteur non parfait.

La structure est constituée d'aluminium, de conductivité finie  $\sigma_{Al} = 2,0 \cdot 10^7 \text{ S} \cdot \text{m}^{-1}$ . On note  $e$  l'épaisseur de la paroi d'aluminium. On peut également montrer que l'amplitude de l'onde est alors multipliée par un facteur  $\exp\left(-\frac{e}{\delta}\right)$ .

**Q44.** Déterminer numériquement l'épaisseur minimale  $e_{min}$  pour que l'amplitude de l'onde soit atténuée d'un facteur  $10^4$  permettant ainsi une bonne protection des personnes situées à proximité du four à micro-ondes. Commenter.

**Q35.** Nous avons la relation  $\lambda = \frac{c}{f} = \frac{3 \cdot 10^8}{2,5 \cdot 10^9} = 12 \text{ cm}$ . La longueur d'onde de ces ondes est donc de l'ordre du centimètre d'où leur nom...

**Q36.** Le phénomène responsable de ces perturbations sont les interférences constructives ou destructives des ondes. Les ondes Wi-Fi sont donc d'une fréquence de 2,5 GHz.

**Q37.** Maxwell Gauss dans le vide :  $\text{div}(\vec{E}) = 0$ , Maxwell Faraday :  $\text{rot}(\vec{E}) = -\frac{\partial \vec{B}}{\partial t}$ , Maxwell flux :  $\text{div}(\vec{B}) = 0$  et Maxwell Ampère dans le vide  $\text{rot}(\vec{B}) = \mu_0 \varepsilon_0 \frac{\partial \vec{E}}{\partial t}$ .

**Q38.** On applique le rotationnel à Maxwell Faraday ce qui conduit en utilisant les données à l'équation  $\text{grad}(\text{div}(\vec{E})) - \Delta \vec{E} = -\mu_0 \varepsilon_0 \frac{\partial^2 \vec{E}}{\partial t^2}$ . Nous obtenons finalement l'équation de D'Alembert demandée en utilisant le fait que  $\text{div}(\vec{E}) = 0$  dans le vide.

**Q39.** D'après l'énoncé  $\vec{E}$  est uniquement dirigé par  $\vec{u}_y$ , ainsi l'équation (3) devient  $\Delta E_y - \mu_0 \varepsilon_0 \frac{\partial^2 E_y}{\partial t^2} = 0$ .

$$\text{Or } \Delta E_y = \frac{\partial^2 E_y}{\partial x^2} + \frac{\partial^2 E_y}{\partial z^2} = \left( \frac{d^2 E_0}{dx^2} - k^2 E_0 \right) \cos(\omega t - kz) \text{ et } \frac{\partial^2 E_y}{\partial t^2} = -\omega^2 E_0 \cos(\omega t - kz).$$

$$\text{Finalement nous obtenons l'équation différentielle } \frac{d^2 E_0}{dx^2} + \left( \frac{\omega^2}{c^2} - k^2 \right) E_0 = 0.$$

**Q40.** Pour avoir une solution oscillante il faut que  $\frac{\omega^2}{c^2} > k^2$  afin que le terme devant  $E_0$  soit positif ce qui imposera des racines du polynôme caractéristique complexes.

**Q41.** L'application de la relation de passage en  $x = 0$  conduit à la relation  $\vec{E}(x = 0, y, z, t) - 0 = \frac{\sigma}{\varepsilon_0} \vec{u}_x$ . Or  $\vec{E}$  est selon  $\vec{u}_y$ , ainsi par projection sur les trois axes nous obtenons  $\sigma = 0$  et  $E_0(x = 0) \cos(\omega t - kz) = 0$ , d'où  $E_0(0) = 0$ . De la même manière on montre en  $x = d$  que  $E_0(d) = 0$ .

**Q42.** Voir question précédente.

**Q43.** D'après l'énoncé nous nous plaçons dans le cas où les solutions sont oscillantes, ainsi  $E_0(x) = A \cos(k'x + \phi)$ . Or à l'aide des conditions limites précédentes, nous avons  $A \cos(\phi) = 0$  et  $A \cos(k'd + \phi) = 0$ .

La première relation impose  $\phi = \pi/2$ , d'où  $E_0(x) = A \sin(k'x)$  et la seconde conduit alors à  $0 = A \sin(k'd)$  de qui impose que  $k'd = n\pi$  avec  $n \in \mathbb{Z}$  d'où  $k' = \frac{n\pi}{d}$ . Nous obtenons donc finalement bien l'expression demandée.

Lorsque l'on injecte cette expression dans l'équation différentielle précédente nous obtenons alors la relation  $n^2 \frac{\pi^2}{d^2} = \frac{\omega^2}{c^2} - k^2$ , d'où  $k^2 = \frac{\omega^2}{c^2} - n^2 \frac{\pi^2}{d^2}$ .

**Q44.** On souhaite alors  $10^{-4} = e^{-e_{min}/\delta}$ , d'où  $e_{min} = \delta \ln 10^4 = \sqrt{\frac{2}{\omega \mu_0 \sigma}} \ln 10^4 = \sqrt{\frac{2}{2\pi \cdot 2,5 \cdot 10^9 \cdot 4\pi \cdot 10^{-7} \cdot 2,0 \cdot 10^7}} \ln 10^4 = \frac{1}{\sqrt{2\pi} 10^5} \ln 10^4 \approx 2 \cdot 10^{-5} \text{ m}$ .

L'épaisseur usuelle des parois (de l'ordre du mm) est suffisante pour une bonne protection des personnes à proximité.